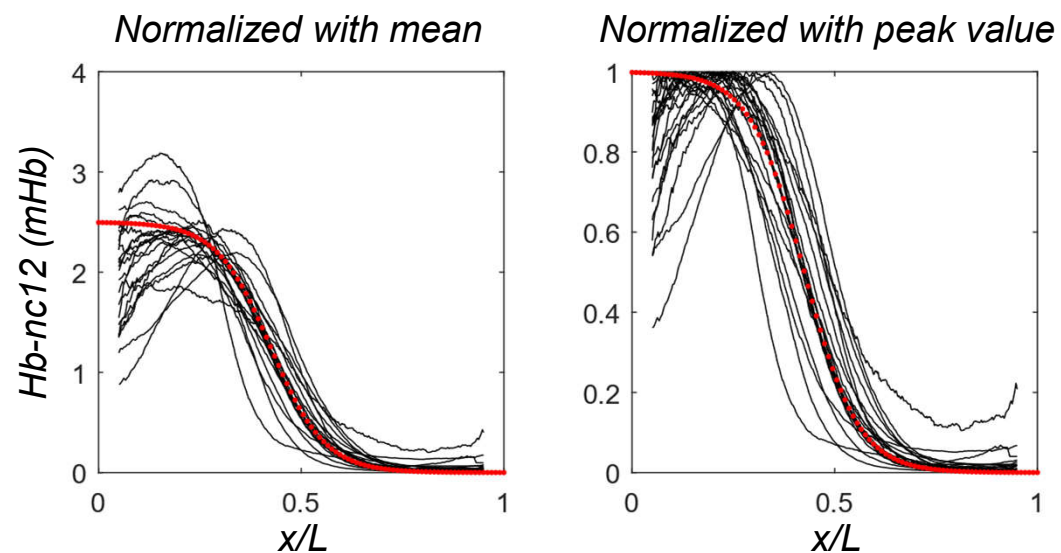
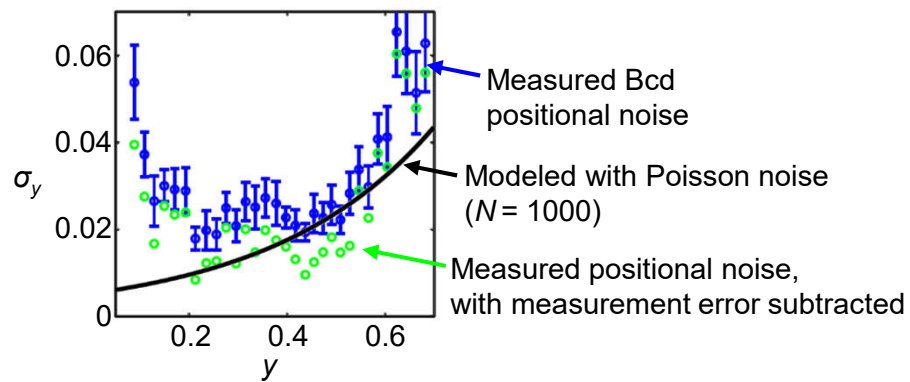


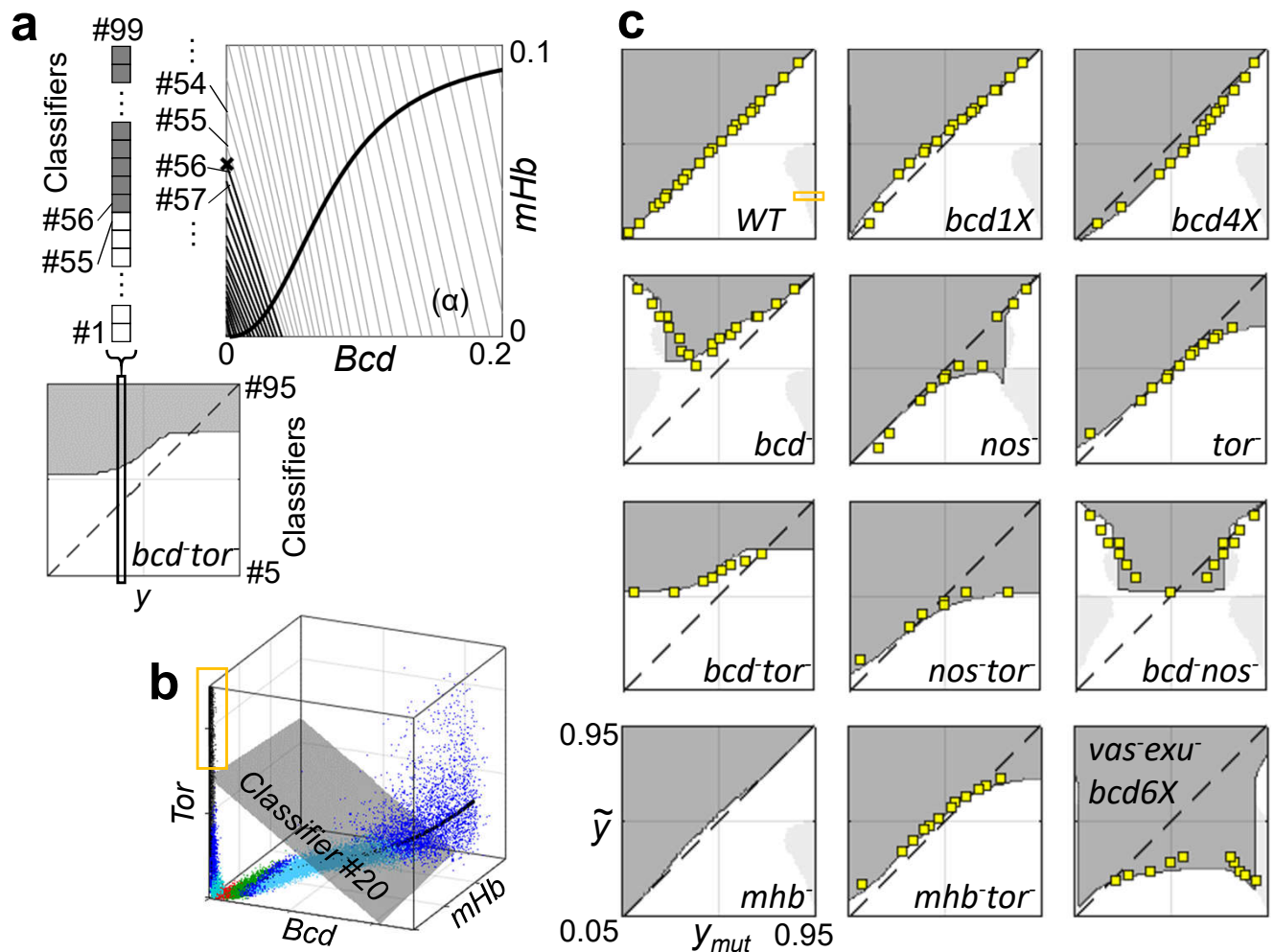
**Fig. S1**



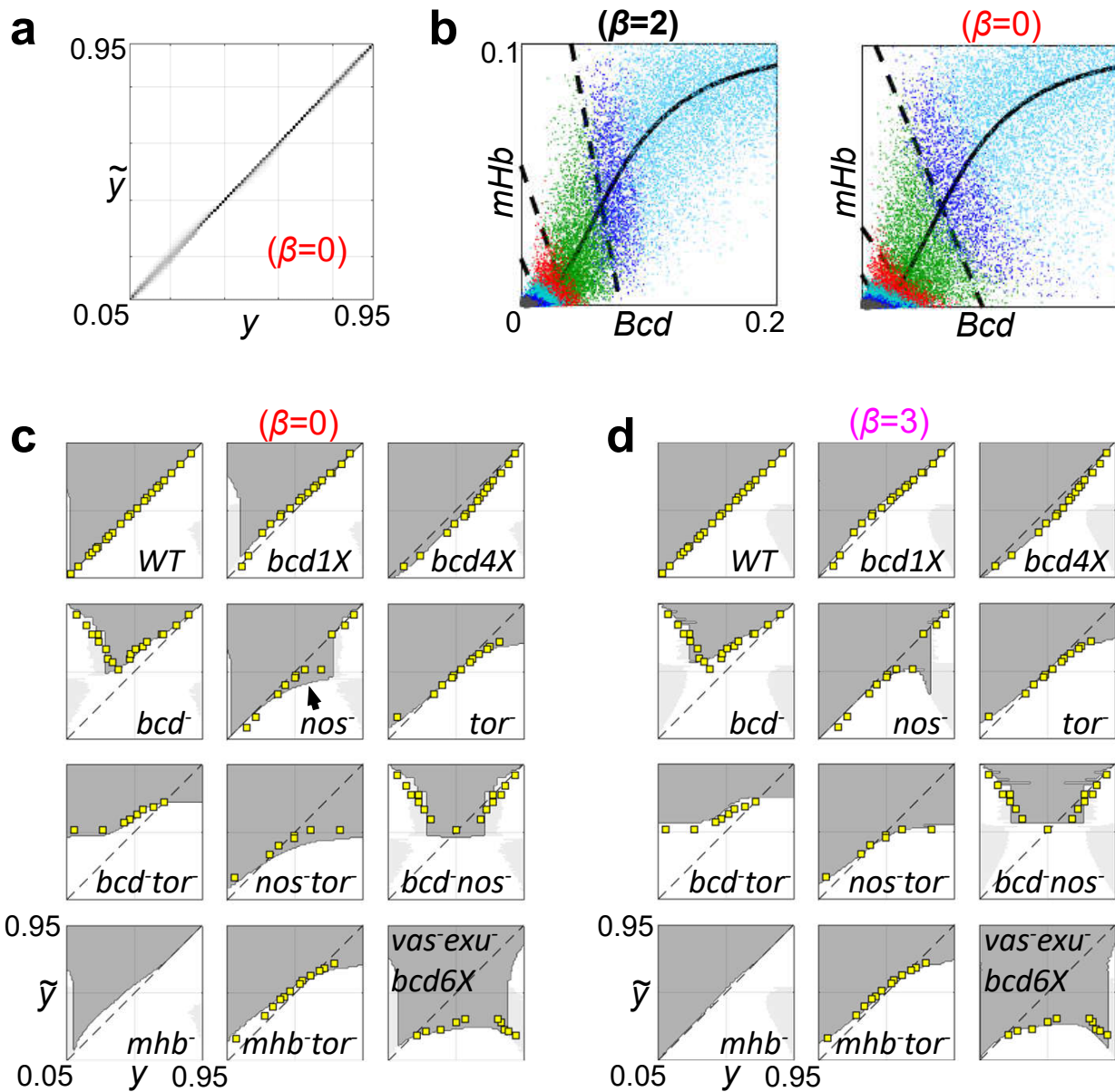
**Fig. S2**



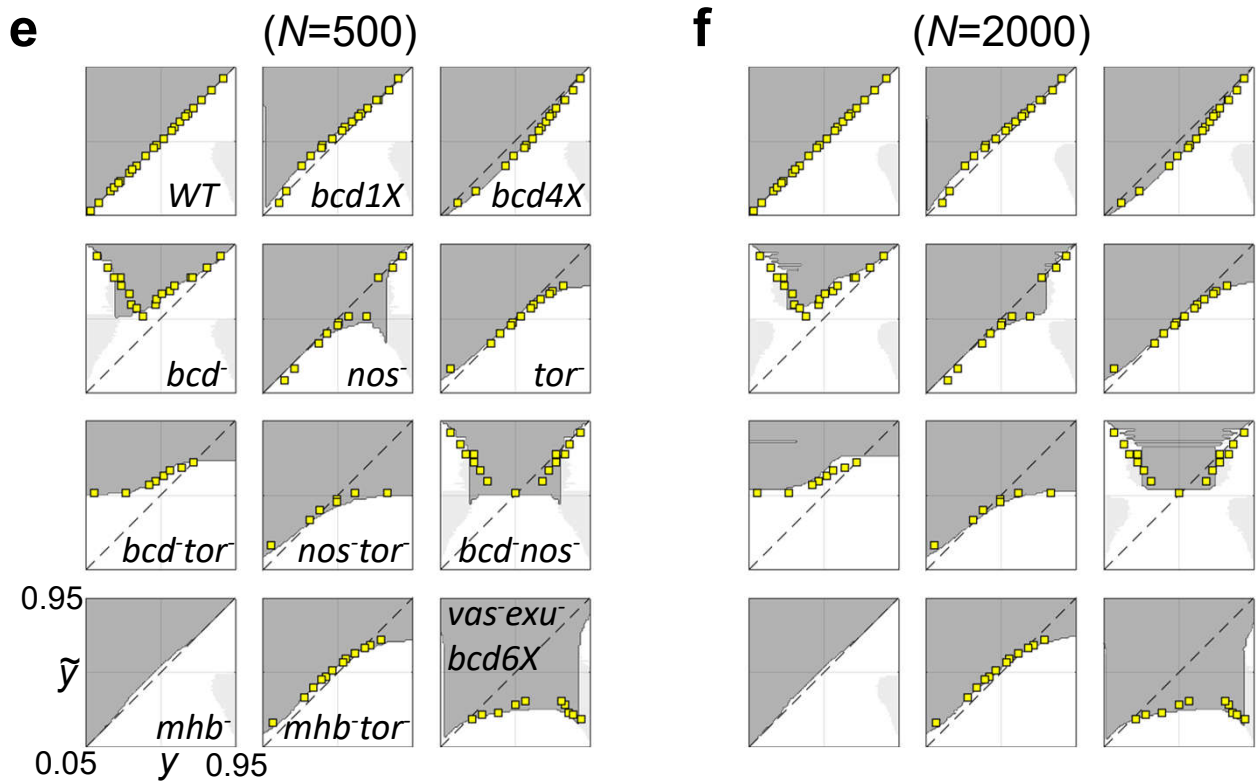
**Fig. S3**



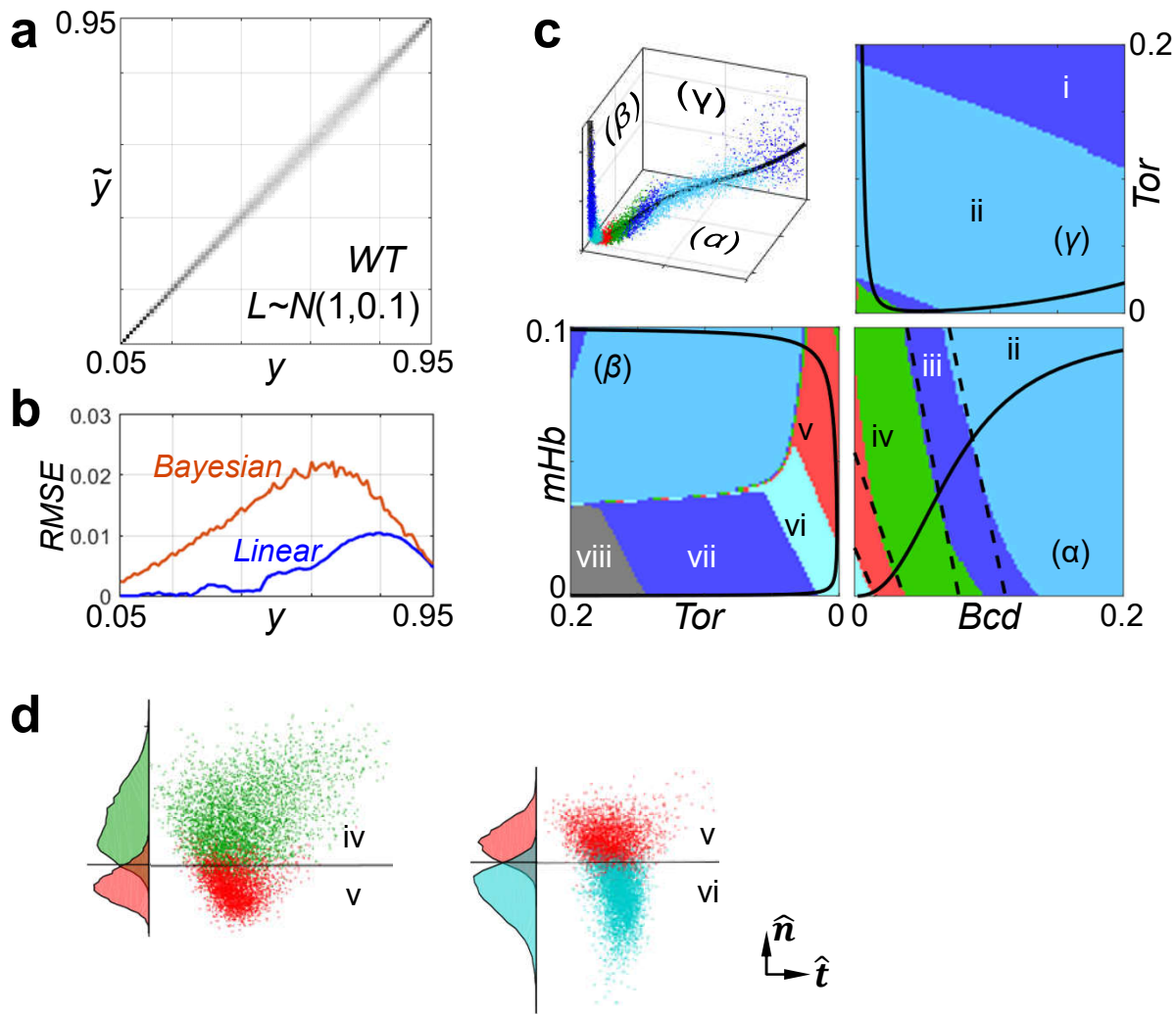
**Fig. S4**



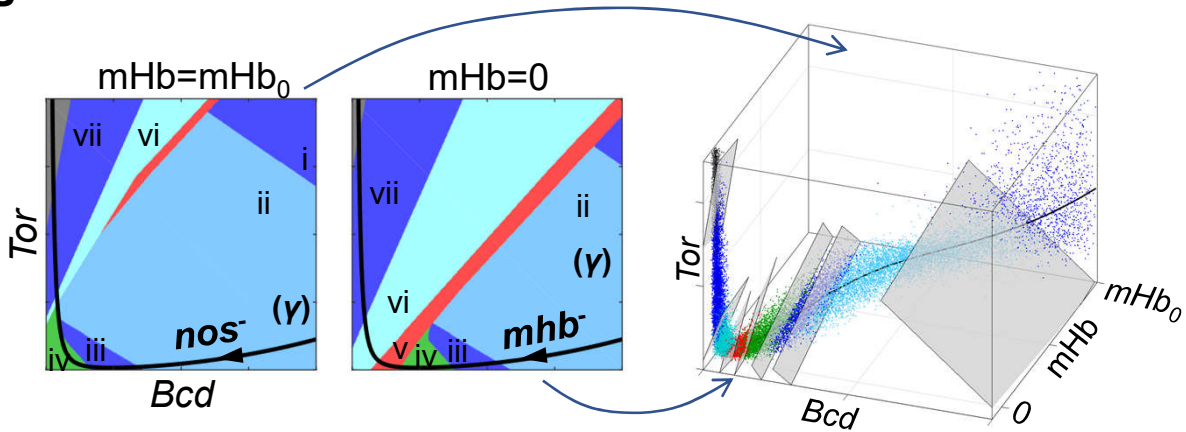
**Fig. S4-continued**



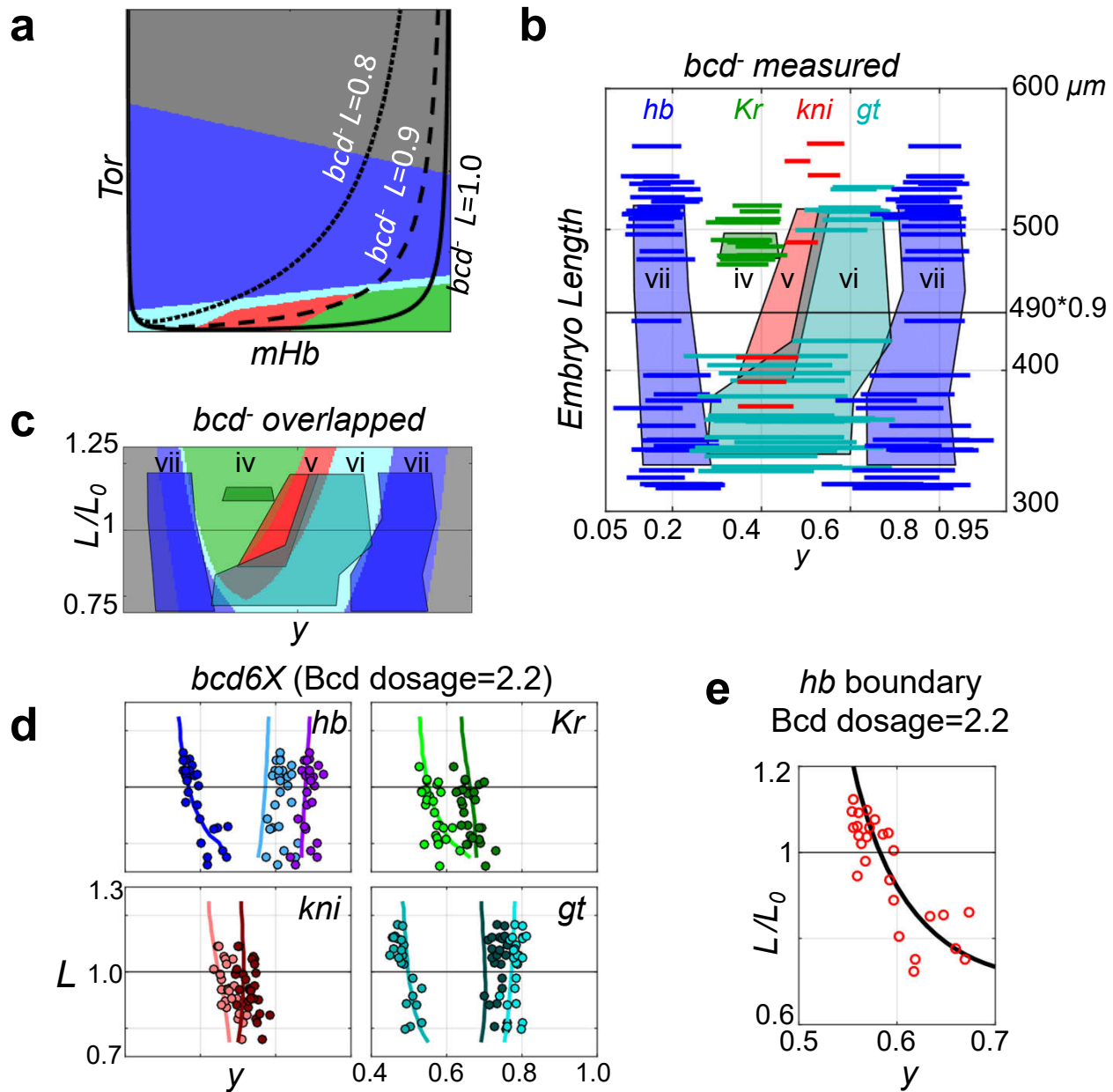
**Fig. S5**



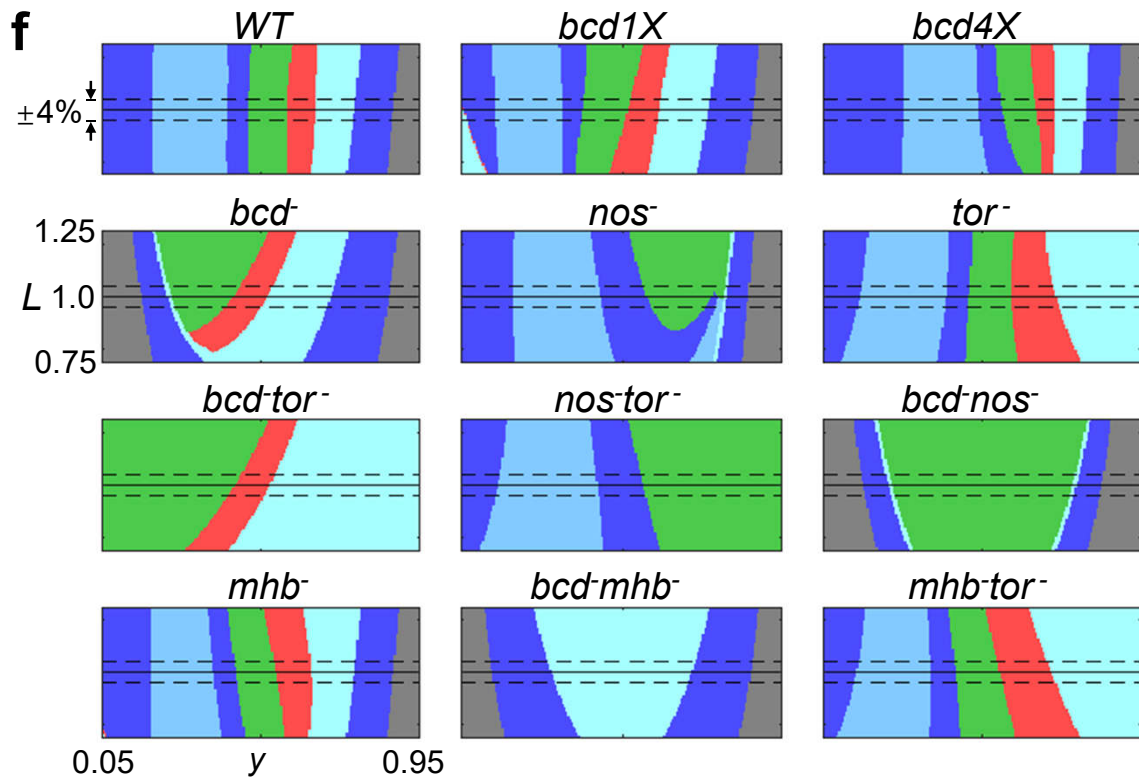
**Fig. S6**



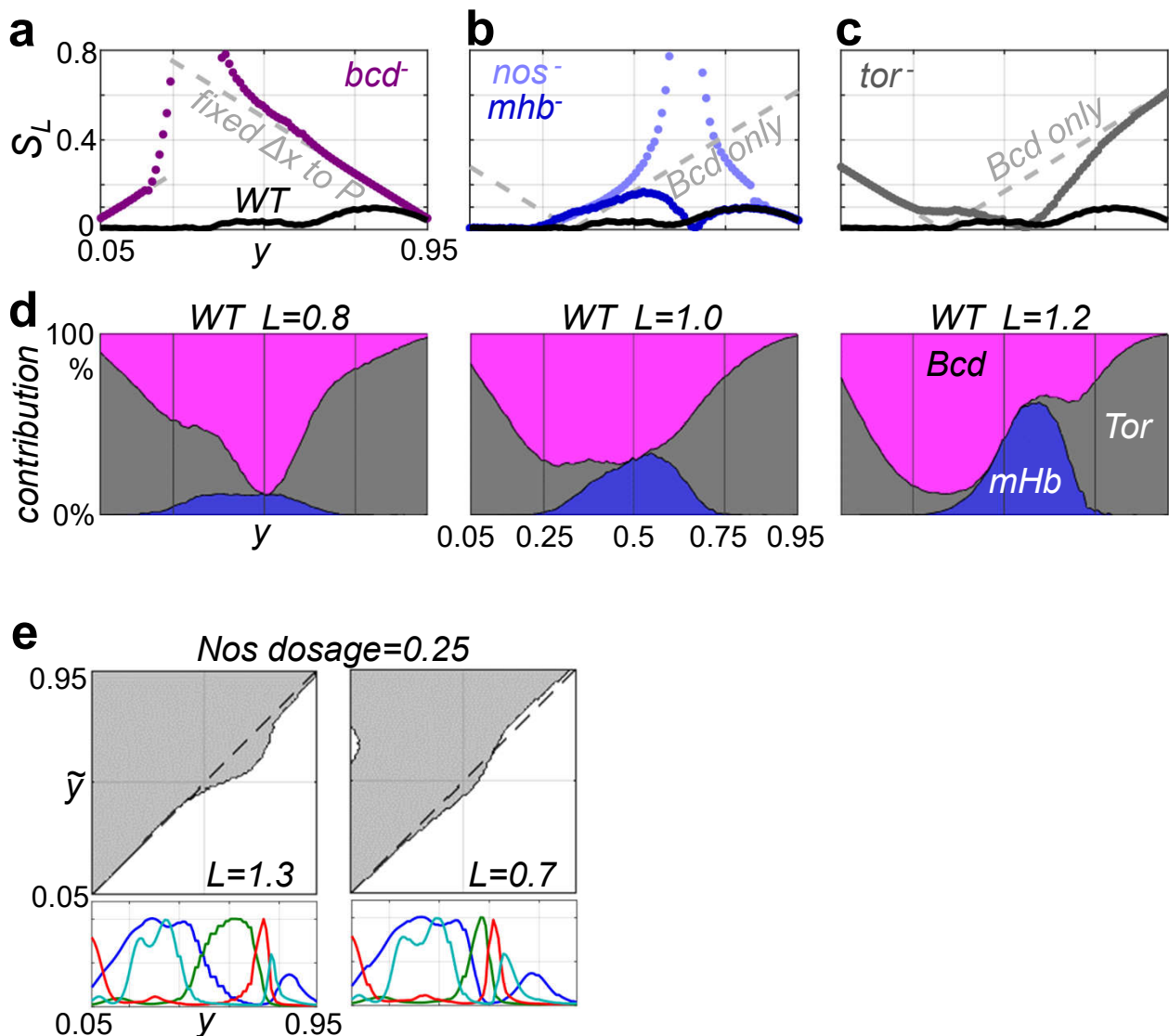
**Fig. S7**



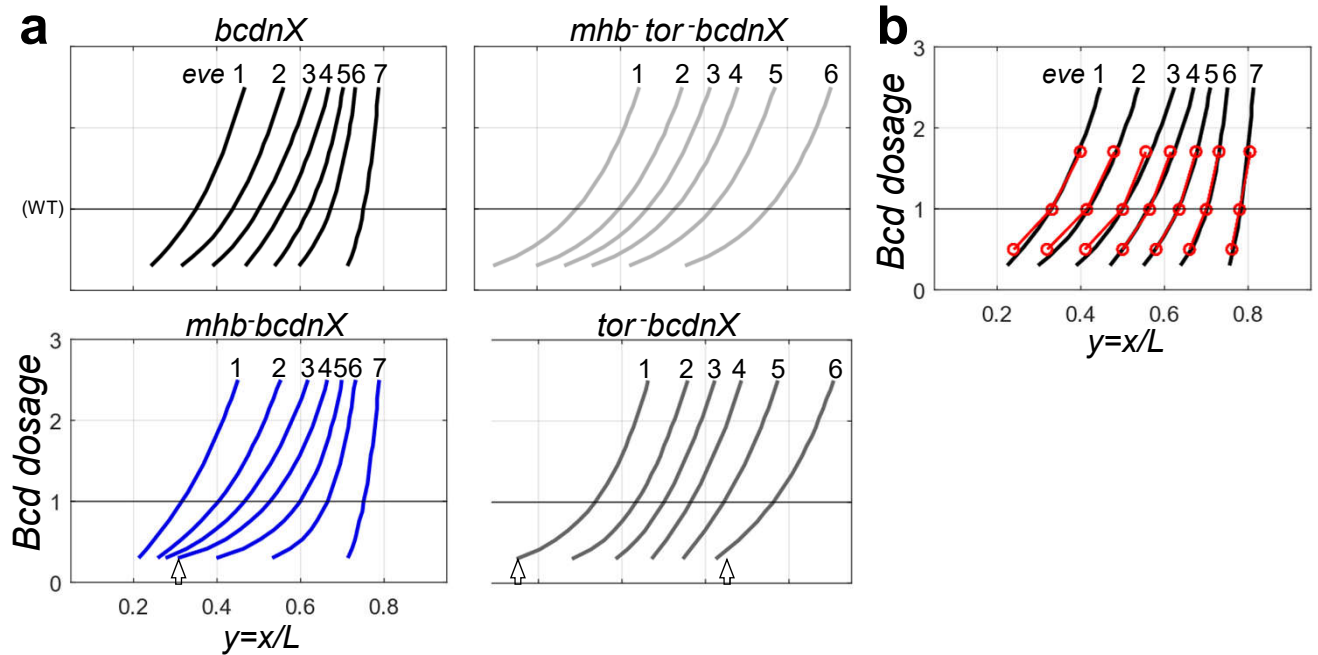
**Fig. S7-continued**



**Fig. S8**

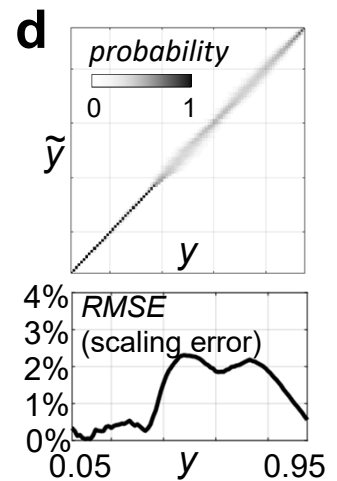
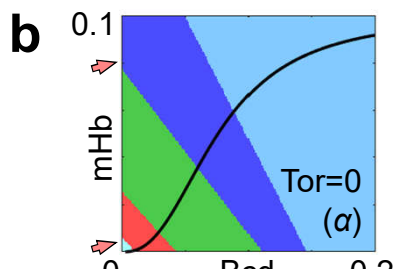
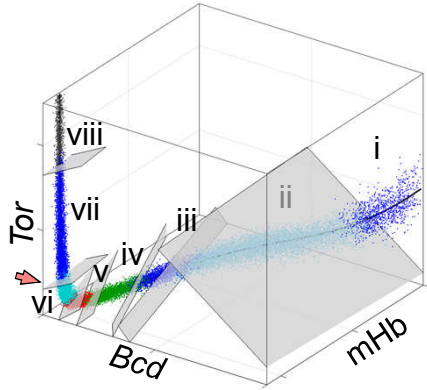


**Fig. S9**

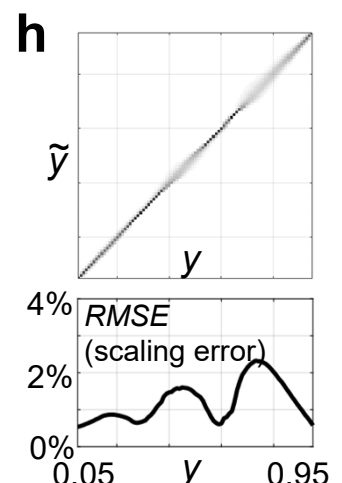
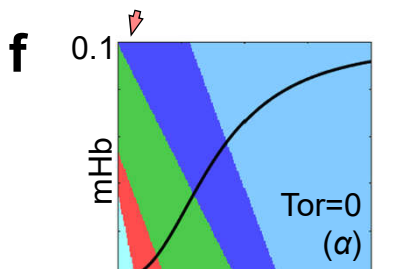
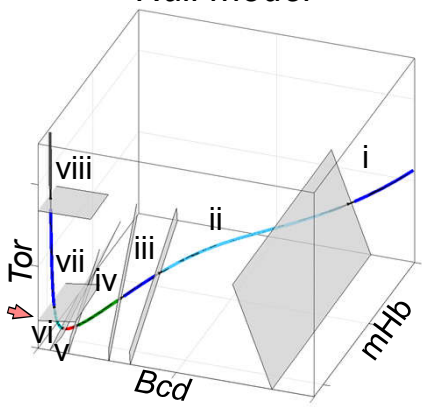


**Fig. S10**

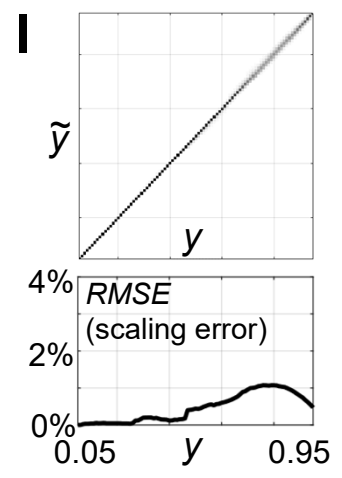
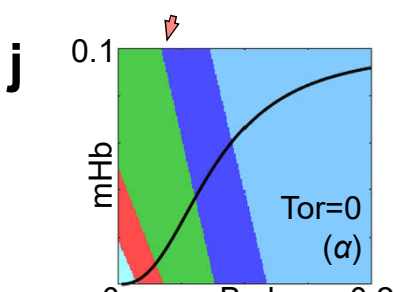
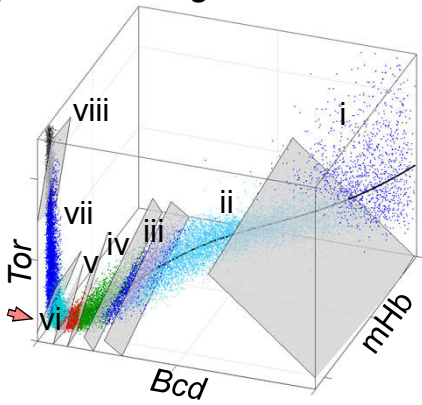
**a Noise-only decoder**



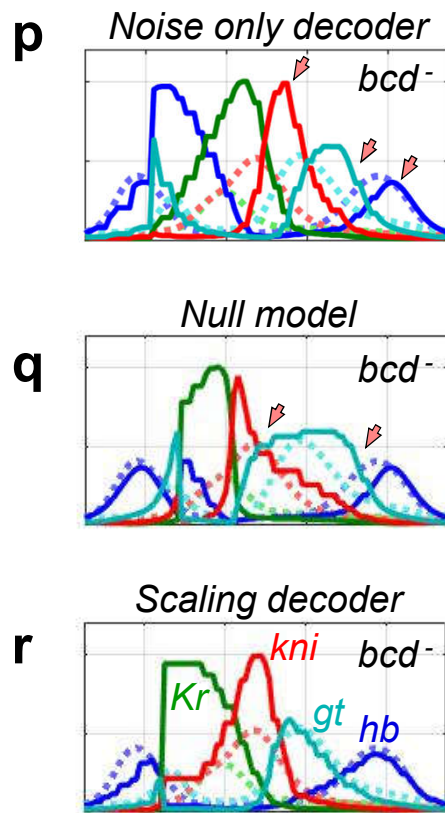
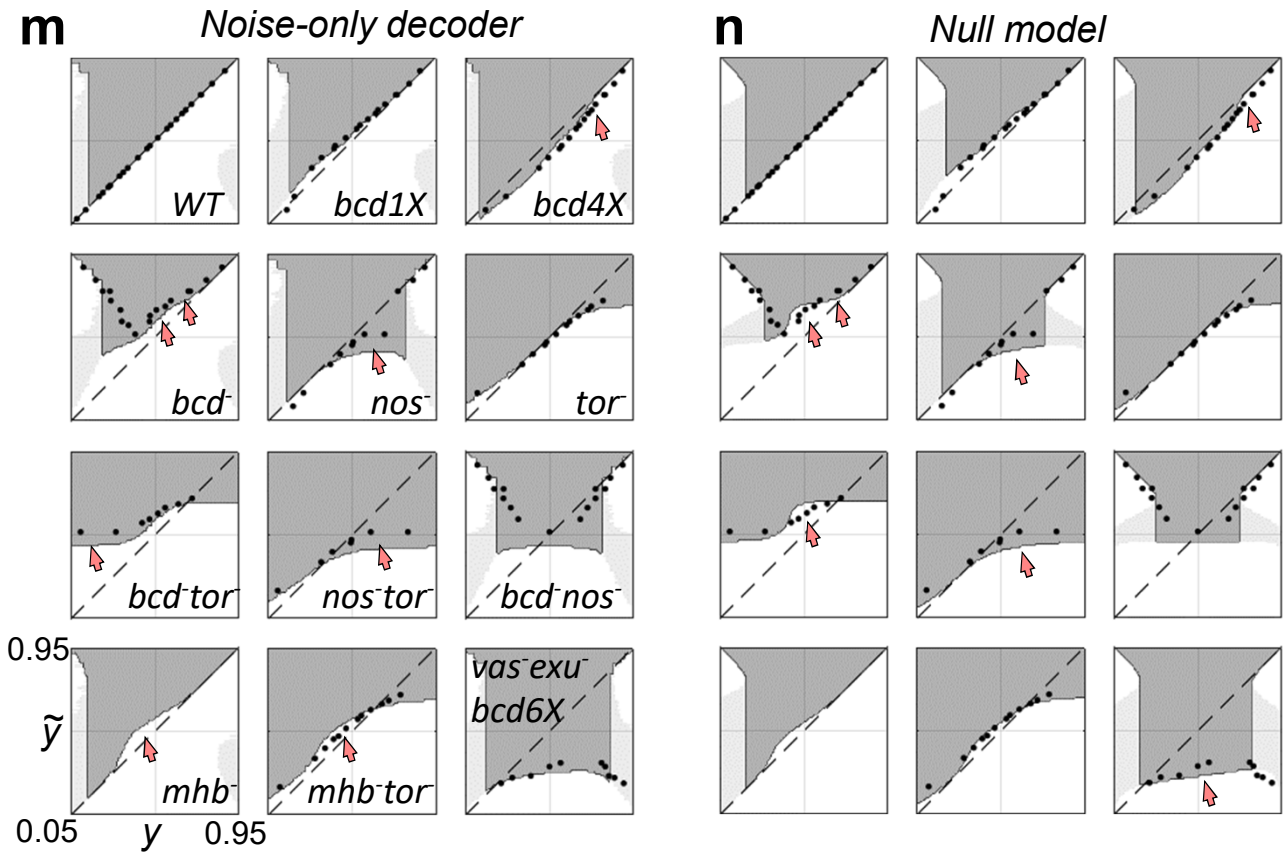
**e Null model**



**i Scaling decoder**

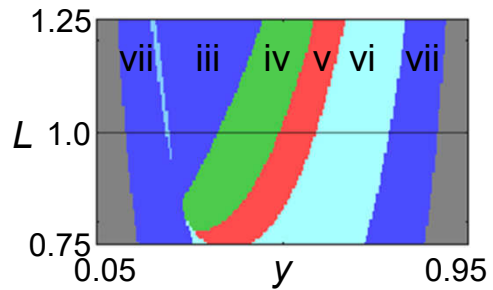


**Fig. S10-continued**

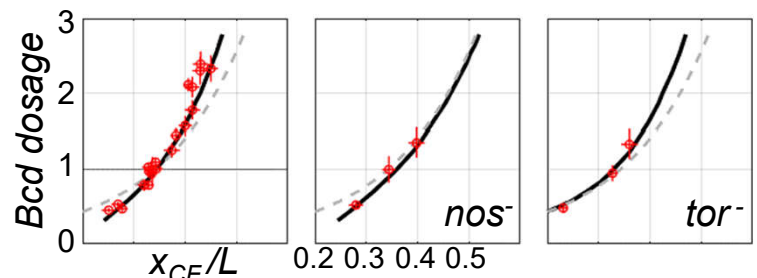


**Fig. S10-continued**

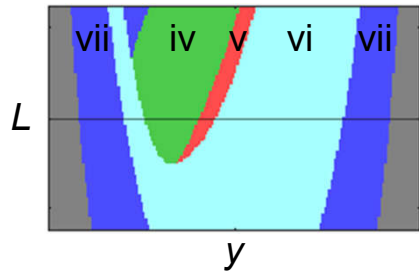
**S** Noise-only decoder (*bcd*<sup>-</sup>)



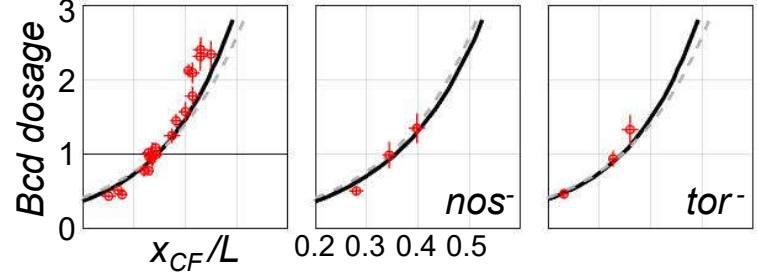
**U** Noise-only decoder



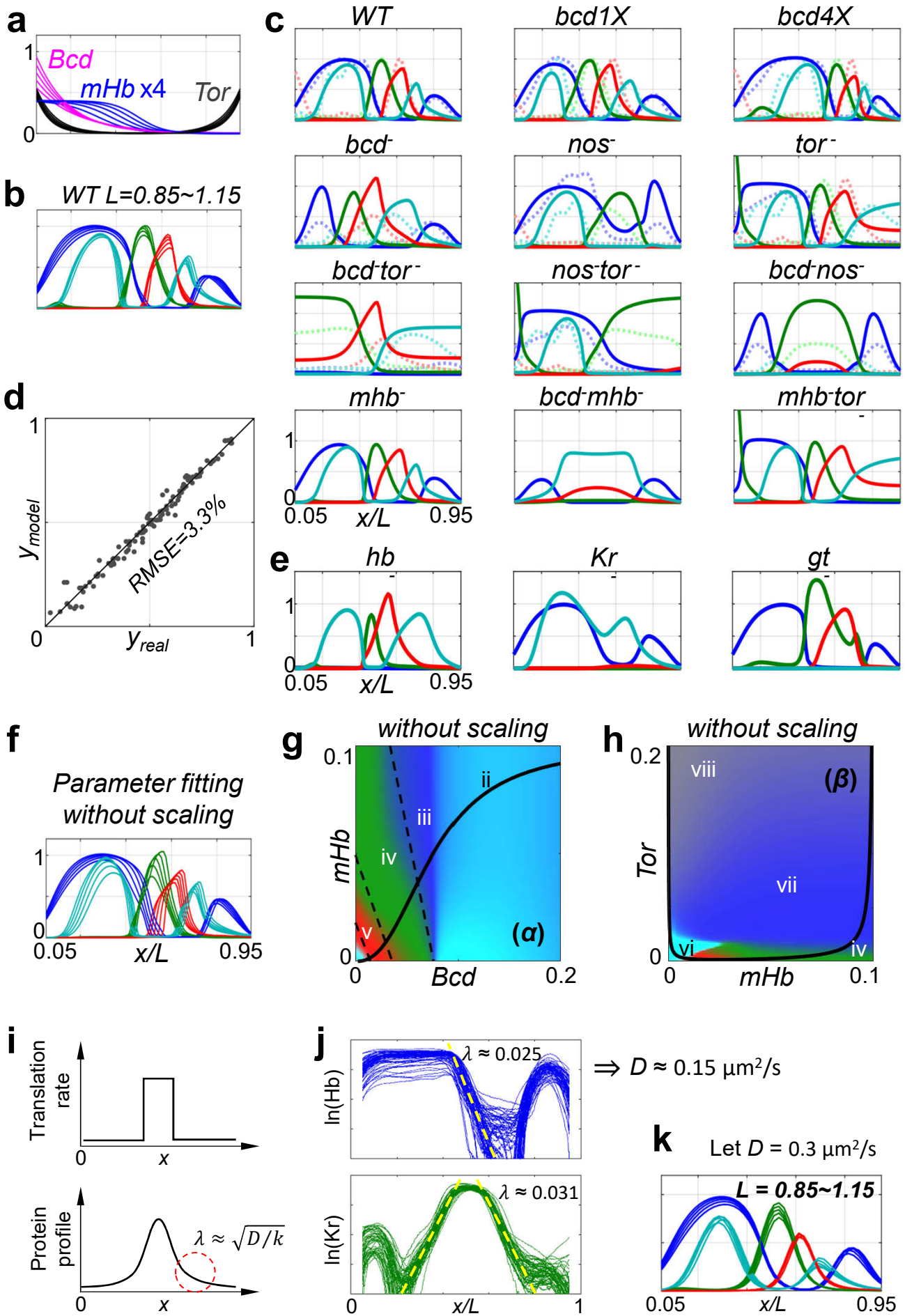
**t** Null model (*bcd*<sup>-</sup>)



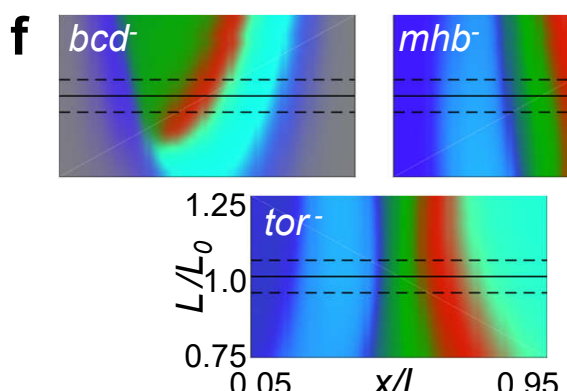
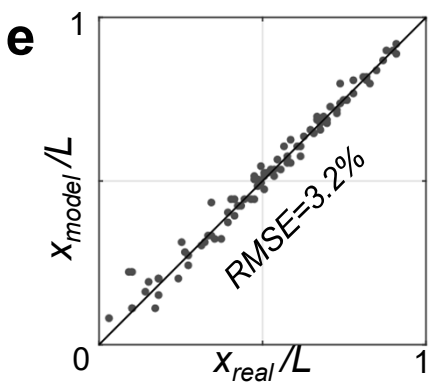
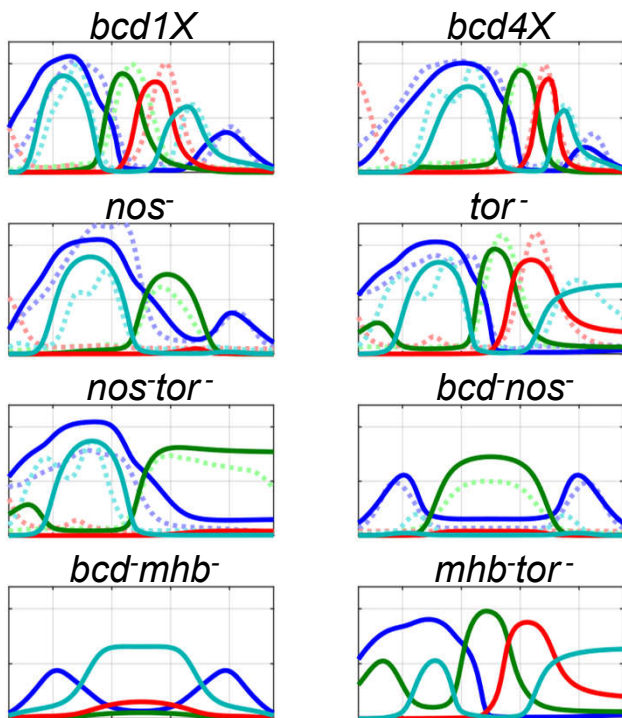
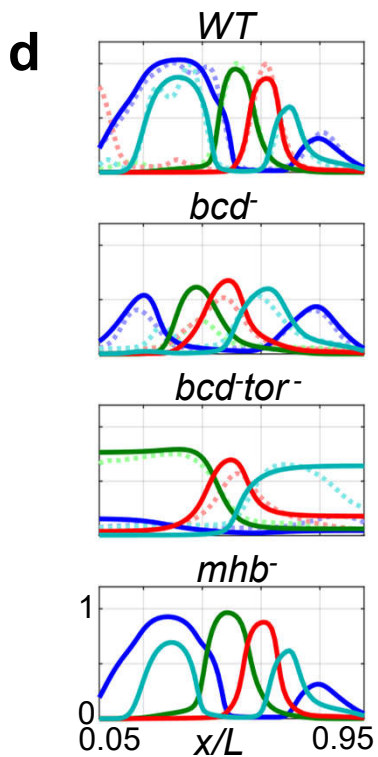
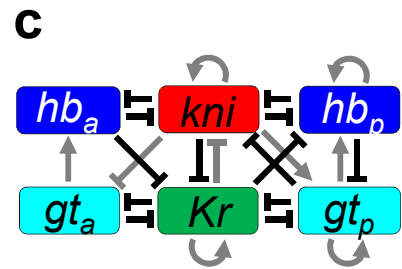
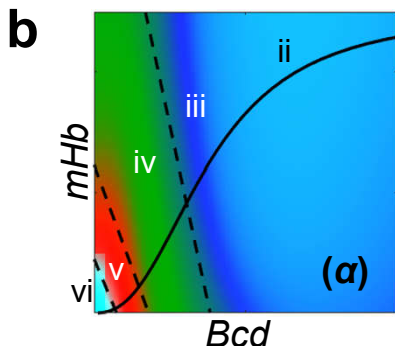
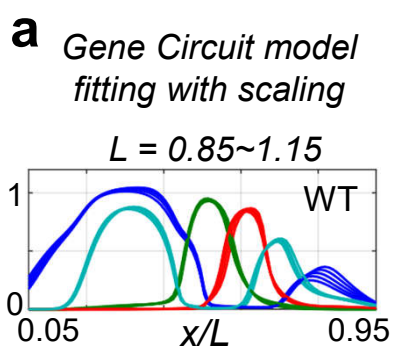
**V** Null model



**Fig. S11**



**Fig. S12**



**Fig. S13**

